

Проиллюстрируем действие правила площадей на примере присоединенной массы для тела, движущегося в идеальной несжимаемой жидкости. Выражения для присоединенных масс имеют вид [7]

$$\lambda_{ik} = -\rho \iint_S \frac{\partial \varphi_i}{\partial n} \varphi_k dS$$

Поскольку потенциалы φ_i и их производные непрерывно зависят от формы тела, то для величин λ справедливо (2) и применимо правило площадей. На фиг. 2 показано относительное изменение присоединенной массы поступательного движения λ_{11} для трехосного эллипсоида, когда отношение осей, перпендикулярных направлению движения, изменялось в несколько раз (за исходное тело был взят шар).

Другие примеры (для коэффициентов сопротивления, теплообмена и уноса массы, параметров в следе) даны в [1–5]. Как видно из фиг. 2 и результатов [1–5], правило площадей дает хорошую точность не только для малых ϵ , но и в гораздо более широкой области.

Подчеркнем еще раз, что правило площадей применимо к задачам разной физической и математической природы. Условием его использования является доказательство (или предположение о справедливости) равенства (2) и дифференцируемость исследуемых функций.

Авторы благодарны Ю. Б. Лифшицу за полезные замечания.

ЛИТЕРАТУРА

1. Коган М. Н. О сопротивлении тел, близких к телам вращения.—Инж. ж., 1961, т. 1, № 3.
2. Дворецкий В. М., Иванов М. Я., Коняев Б. А., Крайко А. Н. О правиле «эквивалентности» для течений идеального газа.—ПММ, 1974, т. 38, № 6.
3. Дунев В. В. Гиперзвуковая аэrodинамика. М.: Машиностроение, 1975.
4. Аштейн Э. З., Пильюгин Н. Н. Правило площадей для коэффициента теплообмена пространственных аблирующих тел при тепловых потоках, локально зависящих от угла наклона поверхности.—Изв. АН СССР. МЖГ, 1979, № 2.
5. Пильюгин Н. Н., Тихомиров С. Г., Черняевский С. Ю. Правило площадей для следа за пространственным телом.—Изв. АН СССР. МЖГ, 1980, № 3.
6. Oswatitsch K. The area rule.—Appl. mech. rev., 1957, v. 10, No. 12.
7. Коchin Н. Е., Кибель И. А., Розе Н. В. Теоретическая гидромеханика, ч. 1. М.: Физматгиз, 1963.

Москва

Поступила в редакцию
10.XII.1979

УДК 533.6.011.72

НЕСТАЦИОНАРНЫЕ КВАЗИОДНОМЕРНЫЕ ТЕЧЕНИЯ РЕЛАКСИРУЮЩЕЙ ЧЕТЫРЕХОКИСИ АЗОТА

БАЖИН М. А., РЫЖАНКОВ М. А., САЛТАНОВ Г. А.

Рассматривается распад произвольного разрыва и отражение веера волн разрежения от неподвижной стенки в диссоциирующей четырехокиси азота. Система уравнений газодинамики и уравнение сохранения массы i -го компонента численно интегрировались методом Маккормака. Показано существенное влияние кинетики на характеристики ударной волны и контактного разрыва.

Исследование течений релаксирующего газа посвящено много работ (см., например, [1–3]). Численный анализ таких течений производился, как правило, в стационарной или квазистационарной постановке. В связи с перспективностью создания атомных электростанций большой мощности на диссоциирующей четырехокиси азота [4] необходимо исследование особенностей течения N_2O_4 в турбинах, которое характеризуется нестационарностью, наличием газодинамических разрывов и изменением типа системы дифференциальных уравнений, описывающих рассматриваемое течение.

Исследования такого рода осложняются тем, что четырехокись азота диссоциирует в широком диапазоне температур и давлений по схеме $N_2O_4 \rightleftharpoons 2NO_2 \rightleftharpoons 2NO + O_2$. Причем если первая стадия реакции практически равновесна [5], то скорость протекания второй стадии реакции такова, что ее необходимо учитывать, особенно в таких быстрых течениях, которые наблюдаются в турбинах. Наличие химических реакций приводит к тому, что даже в предположении об идеальногазовом поведении

компонент смеси термодинамические свойства и плотность всей смеси зависят не только от температуры, но и от давления и состава. Поэтому при расчетах, например, адиабатических равновесных процессов нельзя пользоваться показателем адиабаты N_2O_4 [6]. Все это существенно затрудняет расчеты течений N_2O_4 .

В настоящее время имеется довольно большой опыт расчета нестационарных квазидномерных и двумерных течений релаксирующих сред, основанный на методе С. К. Годунова [7, 8]. Однако из-за частого обращения к операциям нахождения температуры и плотности по известным энергии и давлению, а также необходимости многократного вычисления инварианта Римана (интеграла в инварианте) для диссоциирующей системы сильно увеличивается время счета. В ряде задач, где требуется нахождение энергетических и расходных характеристик, схемы, основанные на методе С. К. Годунова, не дают необходимой точности. Из-за наличия сильных разрывов, местоположение которых неопределено, затруднено использование метода характеристик и разностных схем, основанных на методе бегущего счета. Схема Лакса «размазывает» сильные разрывы и не выделяет контактных разрывов. Схема Лакса – Вендроффа приводит к немонотонности решения. Схема Маккормака [9] проста в программировании, а с введением оператора сглаживания по типу [10] избавляется от немонотонности получаемого решения и, по нашему мнению, наиболее пригодна для решения задач такого типа.

1. Уравнения. Рассмотрим нестационарное течение химически реагирующего тетраксида азота в квазидномерной постановке задачи. Предполагается, что реагирующая смесь удовлетворяет $N_2O_4 \rightleftharpoons 2NO_2 \rightleftharpoons 2NO + O_2$ и моделируется при следующих допущениях: 1) компоненты смеси – идеальные газы; 2) первая стадия реакции протекает равновесно [5]; 3) вязкость, теплопроводность и диффузия отсутствуют.

При этих допущениях течение N_2O_4 описывается системой дифференциальных уравнений сохранения массы, импульса, энергии смеси и массовой концентрации C_3 компонента NO:

$$(1.1) \quad \frac{\partial \rho F}{\partial t} + \frac{\partial \rho u F}{\partial z} = 0$$

$$(1.2) \quad \frac{\partial \rho u F}{\partial t} + \frac{\partial (p + \rho u^2) F}{\partial z} = p \frac{\partial F}{\partial z}$$

$$(1.3) \quad \frac{\partial \rho (\varepsilon + u^2/2) F}{\partial t} + \frac{\partial}{\partial z} \left[\rho u F \left(\varepsilon + \frac{p}{\rho} + \frac{u^2}{2} \right) \right] = 0$$

$$(1.4) \quad \frac{\partial C_3 \rho F}{\partial t} + \frac{\partial \rho u F C_3}{\partial z} = \frac{6\rho^2 K_{c2} F}{m^2 R} [K_{p2} x_2^2 - p \cdot 10^{-5} x_3^2 x_4]$$

Здесь ρ , u , p , ε – плотность, скорость, давление и энергия смеси, $m = 46(1+x_1-x_3/2)$ – молекулярный вес смеси, величина K_{p2} описывает зависимость константы равновесия второй стадии реакции от температуры, x_i – мольные концентрации компонент смеси ($i=1, 2, 3, 4$; 1 – N_2O_4 , 2 – NO_2 , 3 – NO , 4 – O_2), K_{c2} – константа скорости рекомбинации второй стадии реакции, z – координата, t – время, F – площадь, R – универсальная газовая постоянная.

Система уравнений (1.1)–(1.4) замыкается термическим и калорическим [4] уравнениями состояния смеси

$$p/\rho = RT/m$$

$$\varepsilon = \sum_{i=1}^4 x_i(p, T) \varepsilon_i(T) / \sum_{i=1}^4 x_i(p, T) m_i$$

$$S = \sum_{i=1}^4 x_i(p, T) s_i(T) / \sum_{i=1}^4 x_i(p, T) m_i -$$

$$-R \sum_{i=1}^4 x_i(T, p) \ln[x_i(T, p) p] / \sum_{i=1}^4 x_i(T, p) m_i$$

Здесь ε_i и s_i – зависимости от температуры внутренней энергии и энтропии i -го компонента смеси, m_i – молекулярный вес i -го компонента смеси, S – энтропия смеси, T – температура.

В рамках данной модели рассматривается численное решение двух модельных задач – распад произвольного разрыва и отражение веера волн разрежения от неподвижной стенки.

2. Распад разрыва. Пусть в момент времени $t=0$ имеется следующий разрыв параметров:

$$(2.1) \quad \begin{aligned} z < 0, \quad p_7 = 14 \text{ MPa}, \quad T_7 = 973^\circ \\ z \geq 0, \quad p_1 = 2 \text{ MPa}, \quad T_1 = 973^\circ \end{aligned}$$

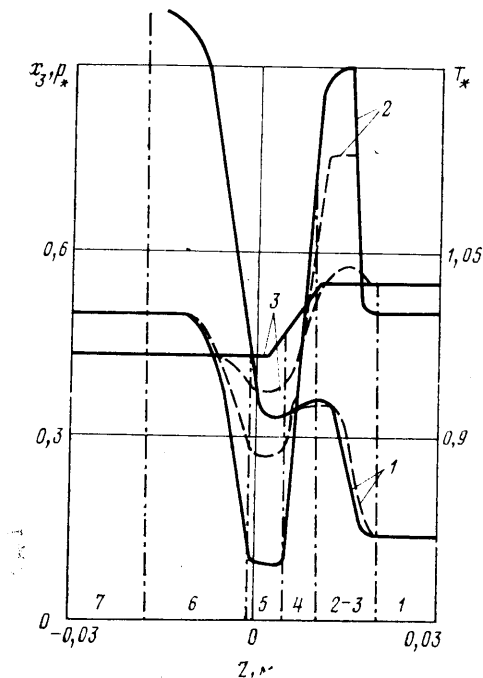
Здесь индексы соответствуют номеру зоны на фиг. 1.

Для определения параметров течения, возникающего при $t>0$, необходимо решать задачу Коши для системы уравнений (1.1)–(1.4) при начальных условиях (2.1).

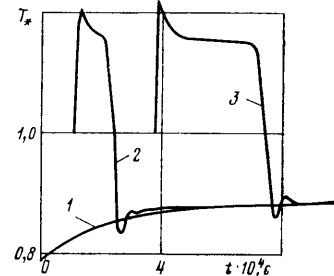
В работе [11] приведен анализ сравнения точного аналитического решения, описывающего течение идеального газа, возникающего при распаде разрыва, и численного решения, полученного по схеме Маккормака. Из анализа следует, что схема Маккормака позволяет получать результаты, описывающие решения, возникающие при распаде произвольного разрыва с приемлемой точностью.

На фиг. 1 представлены результаты расчета параметров течения: здесь и далее на фигурах сплошные кривые – кинетический режим течения, пунктирные кривые – течение в предположении, что вторая стадия реакции протекает равновесно; цифрой 1 обозначены кривые относительного давления $p_*=p/p_7$, 2 – относительной температуры $T_*=T/T_7$ и 3 – состава.

Течение можно разбить на следующие зоны: 1 – невозмущенная зона низкого давления, 2–3 – зона ударной волны и зона релаксации, 4 – зона контактного разрыва, 5 – зона между контактным разрывом и задним фронтом веера волн разрежения, 6 – зона центрированной волны разрежения, 7 – невозмущенная зона высокого давления. На фиг. 1 пред-



Фиг. 1



Фиг. 2

ставлены параметры, характеризующие течение в момент времени $t=1.76078 \cdot 10^{-5}$ с. Из сравнения представленных результатов видно, что при прохождении ударной волны газ разогревается сильнее в смеси с учетом кинетики. Охлаждение газа в зоне 5 более значительное при кинетическом режиме течения, чем в равновесной смеси. Соответственно и значение перепада температуры в газе с учетом кинетики на контактном разрыве больше. Это объясняется перераспределением энергии. В равновесно реагирующей смеси часть энергии расходуется на возрастание (уменьшение) температуры компонент, а часть на химическую реакцию. При кинетическом режиме течения химическая реакция протекает с «запаздыванием», что приводит к увеличению количества энергии, затрачиваемой на рост или уменьшение температуры. Значения давления в равновесном и неравновесном потоках отличаются слабо.

В таблице представлены относительные отклонения температуры T^* и массовой скорости G^* для фиксированного момента времени $t=1,76078 \cdot 10^{-5}$ с

$$T^* = \frac{T_k - T_e}{T_k} \cdot 100\%, \quad G^* = \frac{G_k - G_e}{G_k} \cdot 100\%$$

где T_k , T_e – соответственно значения температуры, рассчитанные с учетом кинетики и в предположении, что реакции протекают равновесно; G_k , G_e – массовые скорости $G=\rho u$, рассчитанные с учетом кинетики и в предположении, что реакции протекают равновесно. Из таблицы видно – максимальное отклонение температуры 10,5% рав-

z_M	T^*	G^*
-0,016	0,0001	-511,2
-0,01	-0,1238	-38,36
-0,002	-9,3825	+3,102
0	-10,012	+0,131
0,004	-10,462	-1,023
0,012	6,296	-23,4
0,018	0,0032	-4442

новесного потока от течения с учетом кинетики достигается в зоне 5. В нестационарных потоках локальное отклонение расхода может быть очень большим – $\sim 4000\%$ (в стационарных сопловых течениях оно значительно меньше). Минимальное отклонение достигается в зоне 5.

Со временем картина течения существенно меняется. На фиг. 2 показаны зависимости T^* от времени при $z_1=0$ (кривая 1), $z_2=0,1$ м (кривая 2), $z_3=0,32$ м (кривая 3). Из фигуры видно, что значение температуры в точке z_1 (зона 5) возрастает со временем, что объясняется протекающей химической реакцией. Когда время процесса мало по сравнению со временем релаксации, в зоне 5 происходит интенсивное охлаждение газа (смесь заморожена), затем начинается рекомбинация и происходит выделение тепла, что ведет к разогреву газа.

В точке z_2 газ сначала разогревается ударной волной, причем разогрев происходит быстро и состав не успевает измениться, а затем начинается диссоциация с поглощением тепла и уменьшением температуры. Далее в точку z_2 приходит контактный разрыв, но перепад температуры на контактном разрыве будет меньше в точке z_2 , чем для всех точек левее z_2 . Из-за разности скоростей движения контактной границы и ударной волны зоны 3 и 5 увеличиваются по длине и процесс падения температуры в зоне 3 в точке z_3 выражен более четко, а перепад температуры на контактном разрыве в точке z_3 значительно меньше, чем для точек, лежащих левее z_3 . На фиг. 3 представлены распределения параметров по длине трубы в момент $t=6,0712 \cdot 10^{-4}$ с. Из сравнения картин течения, представленных на фиг. 1 и 3, видно, что значение температуры в зоне 2 неизменно, так как течение в ударной волне заморожено, состав почти не меняется. Из-за расширения зоны 3 время пребывания газа в зоне увеличивается и становится сравнимым со временем релаксации, состав газа в зоне 3 начинает меняться и как следствие уменьшается температура. Такой же эффект наблюдается в зоне 6 с той лишь разницей, что при низких температурах реакция протекает медленнее и изменение параметров по длине зоны не столь заметно, хотя происходит оно по всей длине зоны во времени.

Таким образом, контактный разрыв для релаксирующего газа не является стабильным разрывом, а перепад температуры на разрыве изменяется во времени и асимптотически стремится к некоторому стационарному значению.

Кинетика химических реакций влияет и на другие процессы, возникающие при течении релаксирующего газа.

3. Отражение волны разрежения от неподвижной стенки. Пусть в начальный момент времени $t=0$ на расстоянии $z=0,03$ м от стенки имеется следующий разрыв параметров:

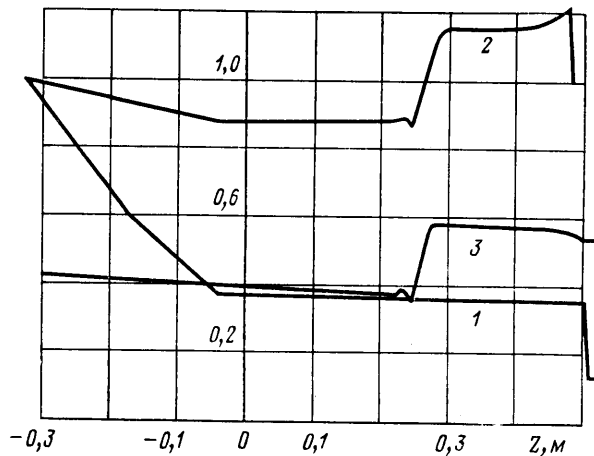
$$(3.1) \quad \begin{aligned} z \leq 0,03 \text{ м}, \quad p &= 25 \text{ MPa}, \quad T = 1073^\circ \\ z > 0,03 \text{ м}, \quad p &= 5 \text{ MPa}, \quad T = 1073^\circ \end{aligned}$$

скорости по обе стороны разрыва равны нулю и состав газа равновесный.

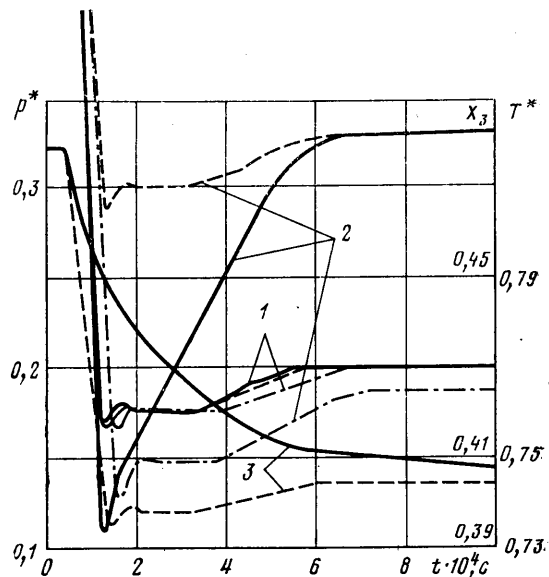
Произведем расчет взаимодействия разрыва с неподвижной стенкой. Для этого необходимо решить задачу Коши при начальных условиях (3.1). Границные условия слева брались аналогично [12], а именно канал продлевался на половину ячейки

и слева от стенки, значения параметров принимались равными значениям справа от стенки и отличались от правых только противоположным знаком скорости. Такое задание граничных условий дает геометрическую картину, симметричную относительно стенки, что эквивалентно равенству нулю скорости на стенке.

При отражении волн разрежения от стенки в области между отраженной волной разрежения и стенкой происходит очень быстрое падение давления и температуры. На фиг. 4 показано изменение во времени параметров смеси в непосредственной



Фиг. 3



Фиг. 4

близости от стенки (обозначения те же, что и на фиг. 1; штрихпунктирная линия — идеальный газ с показателем адиабаты 1,2 и молекулярным весом 46 кг/моль).

В равновесно реагирующей смеси охлаждение газа не такое значительное, как в смеси с учетом кинетики второй стадии реакции. Состав газа с течением времени стремится к некоторому стабильному значению, что влечет за собой повышение температуры.

Таким образом, проведенные исследования показывают, что, во-первых, кинетика химических реакций существенно влияет на характеристики нестационарного течения N_2O_4 . При этом: а) в начальный момент времени, когда течение квазизаморожено, разогрев газа в зоне 3 для течения с учетом кинетики больше, чем для равновесной смеси, а охлаждение газа в зоне 5 меньше; б) в нестационарных потоках локальные расходные характеристики для смеси с учетом кинетики значительно отличаются от характеристик, рассчитанных для равновесно реагирующей смеси; в) кинетика химических реакций качественно видоизменяет картину нестационарных течений — происходит уменьшение температуры в зоне релаксации ударной волны, увеличение температуры в зонах между веером волн разрежения и контактным разрывом и между отраженной волной разрежения и стенкой.

Во-вторых, в релаксирующих газах контактный разрыв не является стабильным, а перепад температуры и плотности на разрыве асимптотически стремится к величине, соответствующей некоторым стабильным состояниям.

ЛИТЕРАТУРА

1. Зельдович Я. Б., Райзэр Ю. П. Физика ударных волн и высокотемпературных гидродинамических явлений. М.: Наука, 1966.
2. Гладков А. А., Полянский О. Ю., Агафонов В. П., Вертушкин В. К. Неравновесные физико-химические процессы в аэродинамике. М.: Машиностроение, 1972.
3. Салтанов Г. А. Неравновесные и нестационарные процессы в газодинамике однодimensionalных и двухфазных сред. М.: Наука, 1979.
4. Нестеренко В. Б., Бубнов В. П., Котелевский Ю. Г. и др. Физико-химические и теплофизические свойства химически реагирующей системы $N_2O_4 \rightleftharpoons 2NO_2 \rightleftharpoons 2NO + O_2$. Минск: Наука и техника, 1976.
5. Белягин В. С., Горбунова Н. И., Штильрайн Э. Э. О расчете времени химической релаксации газовых систем. В кн.: Диссоциирующие газы как теплоносители и рабочие тела энергетических установок, ч. 2. Минск, 1973.
6. Бажин М. А., Нестеренко В. Б. Показатель адабаты смеси химически реагирующих газов. — Изв. АН БССР, Сер. физ.-энерг. н., 1969, № 3.
7. Салтанов Г. А. Нестационарные течения перегретого и конденсирующегося пара. — 3 Konferencja naukowa Turbiny Sarowe Wielkiej Moey, Gdansk, 1974, Prace Inst. Maszyn Przemyslowych, 1976, № 70–72.
8. Салтанов Г. А., Симановский Г. П. Двумерные смешанные течения пересыщенной двухфазной среды с неравновесными фазовыми превращениями. — Изв. АН СССР. МЖГ, 1978, № 4.
9. MacCormack R. W. The effect of viscosity in hypervelocity impact cratering. — AIAA Paper, 1969, No. 354.
10. Жмакин А. И., Попов Ф. Д., Фурсенко А. А. Метод сглаживания при расчете разрывных течений газа. В кн.: Алгоритмы и мат. обеспечение для физических задач. Л., ФТИ, вып. 2, 1977.
11. Войнович П. А., Жмакин А. И., Попов Ф. Д., Фурсенко А. А. О расчете разрывных течений газа. Л., 1977 (АН СССР. Физ.-техн. инт им. А. Ф. Иоффе. Препринт № 561).
12. Годунов С. К., Забродин А. В., Иванов М. Я., Крайко А. Н., Прокопов Г. П. Численное решение многомерных задач газовой динамики. М.: Наука, 1976.

Минск, Москва

Поступила в редакцию
10.XII.1979

УДК 533.601.13

ПРОСТРАНСТВЕННОЕ ТЕЧЕНИЕ ИДЕАЛЬНОЙ ЖИДКОСТИ ОКОЛО МАЛОГО ЭЛЕРОНА

МОЛЧАНОВ В. Ф.

Для предельного случая, когда отношение характерного размера крыла к характерному размеру элерона стремится к бесконечности, получено точное общее решение задачи линейной теории крыла, выраженное в квадратурах. Даны примеры расчетов распределения давления и шарнирных моментов прямоугольного и трапециевидного элеронов.

Рассмотрим в рамках линейной теории задачу об обтекании идеальной жидкостью тонкого бесконечного крыла, проекция которого в прямоугольной системе координат x, y, z занимает всю полуплоскость $y=0, x>0$, а проекция задней кромки